against elastase, hyaluronidase and UV radiation-induced matrix metalloproteinase expression in human dermal fibroblasts and keratinocytes [ J ]. *Photochem Photobiol Sci*, 2019, 18 ( 5 ): 1259-1274.

- [16] 高晨曦,黄 艳,孙威江.茶叶中原花青素研究进展[J]. 茶叶科学,2020,40(4):441-453.
- [17] 马嘉艺,郭 砚,治 娟,等 黑果枸杞原花青素对小鼠 皮肤衰老模型的保护作用研究[J]. 中国全科医学,2019,22(15):1851-1854.
- [18] 史先花, 张峻岭, 康 元. 葡萄籽原花青素及 UVA 照射对 HaCaT 细胞增殖活性的影响[J]. 中国中西医结合皮肤性病 学杂志, 2016, 15(3): 136-138.
- [19] Dzobo K, Thomford N E, Senthebane D A. Targeting the versatile Wnt/β-catenin pathway in cancer biology and therapeutics: from concept to actionable strategy[J]. *OMICS*, 2019, 23(11): 517-538.

- [20] Kasoha M, Dernektsi C, Seibold A, et al. Crosstalk of estrogen receptors and Wnt/β-catenin signaling in endometrial cancer [J]. J Cancer Res Clin Oncol, 2020, 146 (2): 315-327.
- [21] Tomar V S, Patil V, Somasundaram K. Temozolomide induces activation of Wnt/β-catenin signaling in glioma cells *via* PI3K/Akt pathway: implications in glioma therapy [J]. *Cell Biol Toxicol*, 2020, 36(3): 273-278.
- [22] Dong F F, Dong S H, Liang Y, et al. miR-20b inhibits the senescence of human umbilical vein endothelial cells through regulating the Wnt/β-catenin pathway via the TXNIP/NLRP3 axis[J]. Int J Mol Med, 2020, 45(3): 847-857.
- [23] Li Z L, Chen S F, Chen S, et al. Moderate activation of Wnt/ β-catenin signaling promotes the survival of rat nucleus pulposus cells via regulating apoptosis, autophagy, and senescence [J]. J Cell Biochem, 2019, 120(8): 12519-12533.

# 基于 ROS/TXNIP/NLRP3 通路探讨槲皮素对 Pg-LPS 诱导 RAW264.7 细胞炎症因子表达的影响

刘兰宁, 唐焕珍, 李晓媛 (南方医科大学中西医结合医院口腔科, 广东 广州 510315)

关键词: 槲皮素: 牙龈卟啉单胞菌脂多糖 (Pg-LPS): ROS/TXNIP/NLRP3 通路: 炎症因子

中图分类号: R285.5

文献标志码:B

文章编号: 1001-1528(2022)12-4049-04

doi:10.3969/j.issn.1001-1528.2022.12.054

牙周炎是一种慢性、多因素的炎症性疾病,可能会导致牙齿脱落,并最终引发全身炎症反应<sup>[1]</sup>。牙龈卟啉单胞菌(*Porphyromonas gingivalis*, Pg)定植在龈下部位并分泌毒力因子脂多糖(LPS),随后宿主产生炎症和免疫反应,这是牙周炎产生的主要病因之一<sup>[2]</sup>。RAW264.7是小鼠单核巨噬细胞白血病细胞,是许多炎症因子的主要来源,在

牙周炎的发展中起着重要作用<sup>[3]</sup>。近年来,基于炎症信号通路中关键分子筛选抗炎药物受到广泛关注,其中活性氧(ROS)/硫氧还蛋白结合蛋白(TXNIP)/NOD样受体相关蛋白3(NLRP3)信号通路作为炎症反应的重要信号通路之一<sup>[4]</sup>,已被报道在调节脊髓损伤神经炎症中发挥着重要的促进作用<sup>[5]</sup>。提示 ROS/TXNIP/NLRP3 通路与牙周炎

Vol. 44 No. 12

相关联,但其如何调节牙周炎免疫细胞中炎症因子的分泌尚不清楚。大量研究显示,黄酮类化合物对 RAW264.7 巨噬细胞具有抑制作用<sup>[6]</sup>。槲皮素作为黄酮类化合物,是多种中药的有效成分,其能够抑制牙龈卟啉单胞菌的多种毒力因子<sup>[2]</sup>,但槲皮素对牙龈卟啉单胞菌脂多糖(Pg-LPS)诱导 RAW264.7 细胞炎症因子表达的影响尚不清楚。因此,本实验探究槲皮素对 Pg-LPS 刺激的 RAW264.7 细胞炎症因子分泌的影响,并观察其对 ROS/TXNIP/NLRP3 通路的调控作用。

## 1 材料与方法

- 1.1 细胞与药物 小鼠巨噬细胞 RAW264.7 购自中国科学院上海细胞库。槲皮素 (纯度≥98%, 货号 B20527-20 mg) 购自上海联硕生物科技有限公司。
- 1.2 试剂与仪器 DMEM 培养基、蛋白提取试剂盒、BCA 试剂盒、96 孔板均购自河南天驰生物技术有限公司;胎牛血清(FBS)、逆转录试剂盒、TransStart® Green qPCR SuperMix 均购自日本 TaKaRa 公司;TRIzol 试剂、ECL 化学发光试剂盒均购自郑州金图生物科技有限公司;MTT 检测试剂盒购自美国 Sigma 公司;兔抗鼠 TXNIP、NLRP3、GAPDH 一抗、辣根过氧化物酶(HRP)标记的羊抗兔 IgG 二抗均购自上海碧云天生物技术有限公司。ABI 7500 型实时荧光定量 PCR 仪、371 型 CO<sub>2</sub> 培养箱购自美国 Thermo Fisher 公司。
- 1.3 药物配制 精密称取槲皮素 0.030 2 mg, 溶于 1 mL 二甲基亚砜得到 100 μmol/L 母液,于-20 ℃冰箱中保存。以含 10% FBS 的 DMEM 培养基分别将其稀释成 5、25、50 μmol/L浓度,用于后续实验。
- 1.4 细胞培养及分组 RAW264.7 细胞用含 10% FBS 的 DMEM 培养基,于 37 ℃、5% CO<sub>2</sub> 培养箱中培养,当细胞融合度达到 80%~90%时,进行实验。参照文献 [7-8]及前期预实验结果,将细胞分为对照组、模型组及槲皮素低、中、高剂量组,对照组只加入培养基;模型组加入含有 1 mg/L Pg-LPS 的培养基刺激 12 h;槲皮素低、中、高剂量组分别加入 5、25、50 μmol/L 槲皮素预处理 2 h 后,再加入含有 1 mg/L Pg-LPS 的培养基刺激 12 h。
- 1.5 MTT 法检测细胞活力 将 RAW264.7 细胞以每孔  $1 \times 10^5$  个的密度接种于 96 孔板中,加入  $100~\mu$ L 不同浓度槲皮素(5、15、25、50  $\mu$ mol/L),空白组(培养基)和对照组(细胞+培养基)加入等量培养基,培养 24 h 后,每孔加入  $100~\mu$ L MTT 工作液避光孵育 4 h,除去上清液,每孔加入  $150~\mu$ L 二甲基亚砜,振荡溶解 15 min,用酶标仪测定490 nm 处的光密度(OD)值,计算细胞活力,每组设置 6个复孔。
- 1.6 显微镜下观察细胞形态变化 将细胞密度调整为 1× 10<sup>5</sup>/mL,接种于 6 孔板中,培养过夜,细胞按"1.4"项下分组培养,每组设置 6 个复孔,在倒置显微镜下观察细胞形态变化。
- 1.7 RT-qPCR 法检测细胞炎症因子 mRNA 表达 使用 4050

TRIzol 试剂提取各组细胞的总 RNA,利用超微量分光光度 计测定 RNA 浓度。通过逆转录试剂盒进行逆转录形成 cDNA,再进行 PCR 扩增反应,条件为 95  $^{\circ}$  30 s; 95  $^{\circ}$  5 s, 60  $^{\circ}$  30 s, 72  $^{\circ}$  10 s, 共 40 个循环;4  $^{\circ}$  10 min。 每组设置 6 个复孔,以  $^{\circ}$  -actin 为内参,采用  $^{\circ}$  -ΔΔCT 法计算 炎症因子 mRNA 相对表达。引物序列见表 1。

表 1 引物序列

基因	正向引物	反向引物
β-actin	CAGCCTTCCTTCTTGGGTAT	TGGCATAGAGGTCTTTACGG
IL-6	ATGGCATGGCTTACACCACC	TTGGTCCTTAGCCACTCCTTC
<i>IL</i> -1β	GGCTGGACTGTTTCTAATGC	ATGGTTTCTTGTGACCCTGA
$TNF$ - $\alpha$	CGTGGAACTGGCAGAAGAGG	AGACAGAAGAGCGTGGTGGC
iNOS	GGGAATCTTGGAGCGAGTTG	GTGAGGGCTTGGCTGAGTGA
COX-2	GAAGTCTTTGGTCTGGTGCCT	GCTCCTGCTTGAGTATGTCG

- 1.8 ROS 水平检测 收集各组细胞,加入不含 FBS 的培养液,37 ℃孵育 30 min,胰蛋白酶消化,离心收集细胞,用 PBS 洗涤 3 次,收集细胞沉淀物,用无血清培养基将荧光染料 DCFH-DA 稀释为 10 μmol/L,并用该稀释液调整细胞密度为 2×106/mL,接种于 96 孔板中,每孔 100 μL,每组设置 6 个复孔,在激发波长为 485 nm,发射波长为525 nm的条件下,利用荧光分光光度进行 ROS 荧光强度检测。
- 1.9 Western blot 法检测细胞 TXNIP、NLRP3 蛋白表达使用预冷的 RIPA 裂解缓冲液提取各组细胞总蛋白,并通过 BCA 蛋白测定试剂盒测定蛋白质浓度。使用 10% SDS-PAGE 凝胶电泳分离蛋白质,并转移至 PVDF 膜上,用 5%脱脂牛奶封闭 2 h,分别添加一抗 TXNIP (1:2000)、NLRP3 (1:2000)、GAPDH (1:3000)于4℃下孵育过夜,用 TBST 洗涤 3次,加入 HRP标记的二抗 (1:2000)于室温下孵育 2 h,用 TBST 洗涤 3次,用 ECL 试剂盒显色,分析蛋白条带灰度值,计算目的蛋白相对表达量。
- 1.10 统计学分析 通过 SPSS 25.0 软件进行处理,数据以  $(\bar{x}\pm s)$  表示,两组间比较采用 t 检验,多组间比较采用 单因素方差分析,进一步两组间比较采用 SNK-q 检验。P<0.05 为差异有统计学意义。

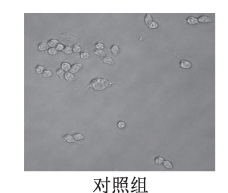
#### 2 结果

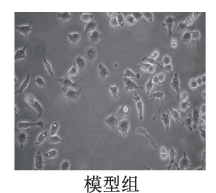
2.1 槲皮素对 RAW264.7 细胞活力的影响 与 0 μmol/L 槲皮素组比较, 5、15、25、50 μmol/L 槲皮素组对 RAW264.7 细胞活力无明显影响 (*P*>0.05), 见表 2。故选择 5、25、50 μmol/L 槲皮素进行后续实验。

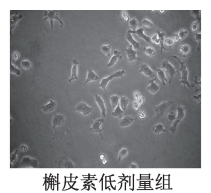
表 2 槲皮素对 RAW264.7 细胞活力的影响  $(\bar{x}\pm s, n=6)$ 

•	槲皮素/(μmol·L <sup>-1</sup> )	细胞活力/%
	0	100. 03±10. 25
	5	108. 16±12. 23
	15	105. 36±10. 87
	25	98. 78±9. 68
	50	97. 69±9. 87

2.2 槲皮素对 Pg-LPS 诱导 RAW264.7 细胞形态的影响 与对照组比较,模型组细胞形成伪足所占比例升高 (P<0.05); 与模型组比较, 槲皮素各剂量组细胞形成伪足











各组 RAW264.7 细胞的形态 (×200) 图 1

表 3 各组细胞形成伪足所占比例比较  $(\bar{x}\pm s, n=6)$ 

Ī	组别	形成伪足的细胞比例/%
	对照组	2. 59±0. 13
	模型组	93. 35±10. 82#
	槲皮素低剂量组	72. 18±8. 11 *
	槲皮素中剂量组	48. 39±5. 36 * <sup>△</sup>
	槲皮素高剂量组	12. 86±2. 12 * △ ▲

注:与对照组比较,\*P<0.05;与模型组比较,\*P<0.05;与槲 皮素低剂量组比较, $^{\triangle}P$ <0.05;与槲皮素中剂量组比较, $^{\blacktriangle}P$ <0.05。

2.3 槲皮素对 Pg-LPS 诱导 RAW264.7 细胞炎症因子 mRNA 表达的影响 与对照组比较,模型组细胞 IL-6、IL-1β、TNF-α、iNOS、COX-2 mRNA 表达升高 (P<0.05); 与 模型组比较、槲皮素各剂量组细胞 IL-6、IL-1β、TNF-α、 iNOS、COX-2 mRNA 表达降低 (P<0.05), 并呈剂量依赖 性,见表4。

所占比例降低 (P<0.05), 并呈剂量依赖性, 见图 1、表 3。

2.4 槲皮素对 Pg-LPS 诱导 RAW264.7 细胞 ROS 水平的影 响 与对照组比较,模型组细胞 ROS 水平升高 (P<0.05);

表 4 各组细胞 IL-6、IL-1β、TNF-α、iNOS、COX-2 mRNA 表达比较(x±s, n=6)

组别	IL-6	<i>IL</i> -1β	TNF-α	iNOS	COX-2
对照组	1. 05±0. 13	1. 03±0. 15	1.01±0.11	1. 04±0. 12	1.06±0.14
模型组	3. 25±0. 42 <sup>#</sup>	2. 32±0. 32#	3.56±0.47#	2. 33±0. 31#	$3.64\pm0.38^{\#}$
槲皮素低剂量组	2. 68±0. 31 *	1. 95±0. 12 *	2. 95±0. 48 *	1. 95±0. 11 *	$3.09\pm0.36^{*}$
槲皮素中剂量组	2. $13\pm0.30^{*}$	1. 58 $\pm$ 0. 22 $^{*}$ $^{\triangle}$	2. $03\pm0$ . $36*^{\triangle}$	1. $63\pm0$ . $13*^{\triangle}$	2. $48\pm0$ . $40^{*}$ $^{\triangle}$
槲皮素高剂量组	1. 46±0. 28 * △ ▲	1. 12±0. 21 * △▲	1. 38±0. 29 * △▲	1. 17±0. 15 * △ ▲	1.51±0.26 * △ ▲

注:与对照组比较, $^{*}P$ <0.05;与模型组比较, $^{*}P$ <0.05;与槲皮素低剂量组比较, $^{\triangle}P$ <0.05;与槲皮素中剂量组比较, $^{\triangle}P$ <0.05。

与模型组比较、槲皮素各剂量组细胞 ROS 水平降低 (P< 表 6 各组细胞 TXNIP、NLRP3 蛋白表达比较( $\bar{x}$ ±s, n=6) 0.05), 并呈剂量依赖性, 见表 5。

表 5 各组细胞 ROS 水平比较 ( $\bar{x} \pm s$ , n=6)

_		
	组别	ROS 水平/%
	对照组	100. 05±10. 18
	模型组	213. 36±15. 88#
	槲皮素低剂量组	173. 55±14. 39 *
	槲皮素中剂量组	142. 22±16. 36 * <sup>△</sup>
	槲皮素高剂量组	108. 96±14. 35 * △ ▲

注:与对照组比较, \*P<0.05;与模型组比较, \*P<0.05;与槲 皮素低剂量组比较,<sup>△</sup>P<0.05;与槲皮素中剂量组比较,<sup>▲</sup>P<0.05。 2.5 槲皮素对 Pg-LPS 诱导 RAW264.7 细胞 TXNIP、 NLRP3蛋白表达的影响 与对照组比较,模型组细胞 TXNIP、NLRP3 蛋白表达升高 (P<0.05); 与模型组比较, 槲皮素各剂量组细胞 TXNIP、NLRP3 蛋白表达降低 (P< 0.05), 并呈剂量依赖性, 见图 2、表 6。

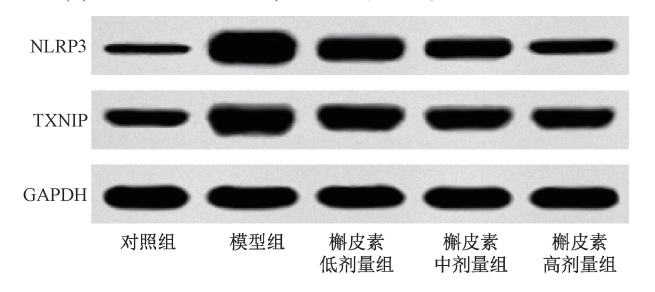


图 2 各组细胞 TXNIP、NLRP3 蛋白条带图

_			
	组别	TXNIP/GAPDH	NLRP3/GAPDH
	对照组	0.65±0.12	0. 43±0. 12
	模型组	1. 63±0. 18#	1.51±0.22#
	槲皮素低剂量组	1. 25±0. 19 *	1. 15±0. 20 *
	槲皮素中剂量组	1. 01±0. 10 * $^{\triangle}$	0.97±0.14*
	槲皮素高剂量组	0. 72±0. 09 * △ ▲	0. 55±0. 15 * △ ▲

注:与对照组比较, \*P<0.05;与模型组比较, \*P<0.05;与槲 皮素低剂量组比较, $^{\triangle}P$ <0.05;与槲皮素中剂量组比较, $^{\blacktriangle}P$ <0.05。

### 3 讨论

牙周炎是由细菌引起的慢性炎症性疾病[9],巨噬细胞 作为关键的免疫细胞,具有3种重要功能,即抗原呈递、吞 噬和免疫调节作用[10-11]。本研究结果显示, 0~50 μmol/L 槲 皮素对 RAW264.7 细胞活力无明显影响, 提示该浓度范围 内的槲皮素不影响细胞增殖, 无细胞毒性。

伪足形成是巨噬细胞在炎症反应中的特征性形态变 化[12]。本研究结果显示、槲皮素可拮抗 Pg-LPS 对 RAW264.7细胞形态的影响, 并抑制 RAW264.7细胞伪足 形成,且呈剂量依赖性。IL-1β、IL-6、TNF-α 是重要的促 炎因子[13], TNF-α 表达高低可直接反映炎症的严重程 度[14]; IL-1β参与牙周炎的炎症反应[15]; IL-6 具有抗炎和 致炎的双向作用[16]。本研究结果显示、槲皮素各剂量组均 可下调炎症因子 IL-1 $\beta$ 、IL-6、TNF- $\alpha$  mRNA 表达, 并呈剂 量依赖性,提示槲皮素可减轻 Pg-LPS 刺激的 RAW264. 7 细 胞的炎症反应。

在炎症反应中,诱导型 NO 合酶 (iNOS) 和环氧合酶

Vol. 44 No. 12

(COX-2) 这 2 种促炎症酶也起着关键的作用。据报道,iNOS 仅在受到 LPS 等细胞外刺激后才表达,并产生大量的 NO,促进炎症性疾病的发生与发展 [17]。而 COX-2 是前列腺素  $E_2$  合成过程中的关键酶,在 LPS 引起的炎症反应中高表达 [18]。本研究结果显示,Pg-LPS 刺激的 RAW264. 7 细胞中 iNOS、COX-2 mRNA 表达升高,而槲皮素各剂量组均可下调 iNOS、COX-2 mRNA 表达,并呈剂量依赖性,提示槲皮素对 Pg-LPS 刺激的 RAW264. 7 细胞炎症因子表达有抑制作用。

近年来,ROS/TXNIP/NLRP3 通路作用受到广泛关注。ROS 的产生对于 NLRP3 激活至关重要,TXNIP 蛋白在 ROS 的刺激下引起 NLRP3 炎性小体的活化,激活 TXNIP/NLRP3 通路,发挥其促炎作用<sup>[19]</sup>。相关研究表明,TXNIP/NLRP3 信号通路在急性肾损伤模型中处于高度活化状态<sup>[20]</sup>;ROS/TXNIP/NLRP3 信号通路促进了慢性间歇性低氧诱导的小鼠心肌损伤<sup>[21]</sup>。本研究结果显示,Pg-LPS 刺激的 RAW264.7细胞中 ROS 水平和 TXNIP、NLRP3 蛋白表达升高,而槲皮素各剂量组均可下调 ROS 水平和 TXNIP、NLRP3 蛋白表达,抑制了 ROS/TXNIP/NLRP3 信号通路的活化。

综上所述,槲皮素可抑制 Pg-LPS 刺激的 RAW264.7 细胞炎症因子表达,其机制可能与抑制 ROS/TXNIP/NLRP3 信号通路活化有关。但是本研究仅探讨了槲皮素对部分炎性因子基因的表达,未探讨其蛋白表达及其他炎性因子水平,尚需深入研究。

## 参考文献:

- [ 1 ] Papapanou P N, Sanz M, Buduneli N, et al. Periodontitis: Consensus report of workgroup 2 of the 2017 World Workshop on the Classification of Periodontal and Peri-Implant Diseases and Conditions [J]. J Periodontol, 2018, 89; S173-S182.
- [2] He Z Y, Zhang X, Song Z C, et al. Quercetin inhibits virulence properties of Porphyromas gingivalis in periodontal disease [J]. Sci Rep., 2020, 10(1): 18313.
- [3] 李 潭, 孙一涵, 李国峰. 根皮素对脂多糖诱导的 RAW264.7细胞的体外抗炎作用机制[J]. 中国免疫学杂志, 2021, 37(7): 812-818.
- [4] 陈 勇, 范军朝, 庞红利, 等. 七氟醚后处理对脑缺血/ 再灌注损伤大鼠的脑保护作用及对 ROS/TXNIP/NLRP3 通路的影响[J]. 国际麻醉学与复苏杂志, 2021, 42 (1): 8-14.
- [5] Ren Z L, Liang W D, Sheng J, et al. Gal-3 is a potential biomarker for spinal cord injury and Gal-3 deficiency attenuates neuroinflammation through ROS/TXNIP/NLRP3 signaling pathway[J]. Biosci Rep., 2019, 39(12): BSR20192368.
- [ 6 ] Ran X, Li Y H, Chen G X, et al. Farrerol ameliorates TNBS-induced colonic inflammation by inhibiting ERK1/2, JNK1/2, and NF-κB signaling pathway [ J ]. Int J Mol Sci., 2018, 19 (7): 2037.
- [7] 杨 芳, 陈明月, 胡英英, 等. NALP3 炎性体在牙龈卟啉单 胞菌脂多糖刺激 RAW264.7 细胞中的作用[J]. 中华口腔医

- 学杂志, 2017, 52(5): 289-293.
- [8] 任改艳,张步有,黄剑林. 槲皮素对 LPS 诱导小鼠 RAW264.7细胞炎症的保护作用[J]. 中成药,2019,41 (8):1795-1799.
- [ 9 ] Pathak J L, Fang Y, Chen Y X, et al. Downregulation of macrophage-specific Act-1 intensifies periodontitis and alveolar bone loss possibly via TNF/NF-κB signaling[J]. Front Cell Dev Biol, 2021, 9: 628139.
- [10] Sima C, Viniegra A, Glogauer M. Macrophage immunomodulation in chronic osteolytic diseases-the case of periodontitis [J].

  J Leukoc Biol, 2019, 105(3); 473-487.
- [11] Li L C, Pan Z H, Ning D S, et al. Anti-inflammatory effect of Simonsinol on lipopolysaccharide stimulated RAW264.7 cells through inactivation of NF-κB signaling pathway[J]. Molecules, 25(16): 3573.
- [12] Han C, Yang J, Song P, et al. Effects of Salvia miltiorrhiza Polysaccharides on lipopolysaccharide-induced inflammatory factor release in RAW264.7 cells[J]. J Interferon Cytokine Res, 2018, 38(1): 29-37.
- [13] 娄 余,肖运婷,朱 莹,等. 基于 NF-кB 信号通路的溃结 宁膏穴位敷贴对溃疡性结肠炎大鼠结肠黏膜炎症反应的影响[J]. 中国中医药信息杂志,2021,28(4):75-80.
- [14] 汤韵秋,全云云,余琳媛,等.连翘脂素对 LPS 诱导RAW264.7细胞炎症反应的影响[J].天然产物研究与开发,2019,31(7):1117-1123.
- [15] Liukkonen J, Gürsoy U K, Pussinen P J, et al. Salivary concentrations of interleukin-1β, -17A, and -23 vary in relation to periodontal status [J]. J Periodontol, 2016, 87 (12): 1484-1491.
- [16] 李秋月, 许海玉, 杨洪军. 促炎因子 TNF-α, IL-1β, IL-6 在 神经病理性疼痛中的研究进展[J]. 中国中药杂志, 2017, 42(19): 3709-3712.
- [17] Liu P, Li H X, Luan R L, et al. Identification of β-carboline and canthinone alkaloids as anti-inflammatory agents but with different inhibitory profile on the expression of iNOS and COX-2 in lipopolysaccharide-activated RAW 264.7 macrophages [J]. J Nat Med, 2019, 73(1): 124-130.
- [18] Lee J K, Sayers B C, Chun K S, et al. Multi-walled carbon nanotubes induce COX-2 and iNOS expression via MAP Kinasedependent and -independent mechanisms in mouse RAW264. 7 macrophages[J]. Part Fibre Toxicol, 2012, 9: 14.
- [19] Li L, Lu Q Y, Wei C, et al. Vitamin D3 protects against diabetic retinopathy by inhibiting high-glucose-induced activation of the ROS/TXNIP/NLRP3 inflammasome pathway [ J ]. J Diabetes Res., 2018, 2018; 8193523.
- [20] Yuan X P, Zheng Y T, Chen C B, et al. Anisodamine inhibits endoplasmic reticulum stress-associated TXNIP/NLRP3 inflammasome activation in rhabdomyolysis-induced acute kidney injury[J]. Apoptosis, 2017, 22(12): 1524-1531.
- [21] 任 静,郭亚净,刘 寒,等.亚麻木酚素通过调控TXNIP/ NLRP3 信号通路改善 CIH 小鼠心肌损伤[J]. 中国药理学通 报,2020,36(8):1094-1099.